

诊断。异型淋巴细胞增高,但持续时间短,麻疹样皮疹,疹退后有少许色素沉着,可能是肺炎支原体感染的一种特殊表现。

#### [参考文献]

- [1] 丁训杰,沈迪,林宝爵,林修基.实用血液病学[M].上海:上海医科大学出版社,1991,165-167.  
[2] 贾彩娥.100例小儿支原体肺炎及并发症分析[J].北京医学,

- 2002,22(5):279-280.  
[3] 黄建军.支原体感染血清学检测及其临床意义[J].中国当代儿科杂志,2001,3(6):699-701.  
[4] Narita M, Yamada S, Nakayama T, Sawada H, Nakajima M, Sageshima S. Two cases of lymphadenopathy with liver dysfunction due to Mycoplasma pneumoniae infection with Mycoplasmal bacteraemia without pneumonia[J]. J Infect, 2001, 42(2): 154-156.

(本文编辑:吉耕中)

### ·病例报告·

## 婴儿溃疡性结肠炎1例

郭晓清,蒲秀红,李茜,裘晓霞,邱萌

(解放军第309医院儿科,北京 100091)

[中图分类号] R574.62 [文献标识码] E

患儿,男,8月,于生后23d无明显诱因出现腹泻,8~10次/d,黄绿色稀糊状便,无脓血,无呕吐、发热等伴随症状,纳差,精神较好,自服思密达、乐托尔等无效,于3个月时腹泻加重,出现粘液便及脓血便,约10余次/d,反复查大便常规:粘液脓血便,WBC(++~++++),多次查大便培养无致病菌生长。先后予静脉点滴磷霉素、头孢哌酮钠、头孢曲松等抗生素治疗无效,腹泻时轻时重,脓血便与黄绿色稀便交替出现,营养发育较差,轻度贫血貌,心肺无异常,肝脾无肿大,肛周潮红糜烂,较重肛裂及肛瘘。血常规:WBC $8.7\times 10^9/L$ ,RBC $3.62\times 10^{12}/L$ ,HGB 86 g/L,N 0.488,L 0.512;大便常规:黄色粘液便,WBC满视野,RBC 8~12/HP;反复大便培养阴性;大便未查出阿米巴滋养体及兰氏贾第鞭毛虫;PPD试验阴性;结核抗体阴性;肥达氏、外斐氏反应阴性;HIV阴性;血生化、肝肾功能正常;5个月及8个月2次钡灌肠示:横结肠、左半结肠粘膜呈颗粒状改变,肠管边缘毛糙呈锯齿状改变,诊断溃疡性结肠炎(见图1~4)。予爱迪沙(5-氨基水杨酸,苏州中凯生物药业有限公司出品)250 mg口服,3次/d,疗程3月;中药青黛、枯矾、乳香、没药、儿茶(各10g),白芨、白头翁炭(12g)研细粉混匀,取5g加生理盐水30 ml保留灌肠,每日1次,2周为1个疗程,共用3个疗程,用药2周后患儿食欲好转,面色转红润,

大便性状明显好转,大便次数减少,5次/d、黄色糊状便,大便常规 WBC 0~2/HP,血常规 WBC  $6.9\times 10^9/L$ ,RBC  $3.96\times 10^{12}/L$ ,Hb 108 g/L,N 0.405,L 0.595;3周时大便2次/d,黄色软便,无脓血,大便常规正常;完成疗程停药3月、6月复查大便常规、血常规、肝肾功能正常。

讨论:溃疡性结肠炎可发生在任何年龄,但多见于20~40岁者,儿童发病率较低。本病因尚未完全明确,目前认为本病主要是由于免疫机制异常,并与氧自由基损伤、遗传因素等有关。结肠镜检查、稀钡灌肠检查可明确诊断<sup>[1]</sup>。儿童及婴幼儿溃疡性结肠炎发病率低,且婴幼儿更受语言表达所限,极易误诊。临床常按细菌性或阿米巴痢疾等治疗,当溃疡性结肠炎继发感染予抗感染治疗获一定疗效时更易混淆。长时间用抗生素可导致肠道菌群失调、加重病情。艾迪沙可抑制黄嘌呤氧化酶或白细胞介导的氧自由基形成,消除炎症;合并使用传统止涩、生肌中药保留灌肠取得了满意疗效。

(全部图片见封Ⅱ)。

#### [参考文献]

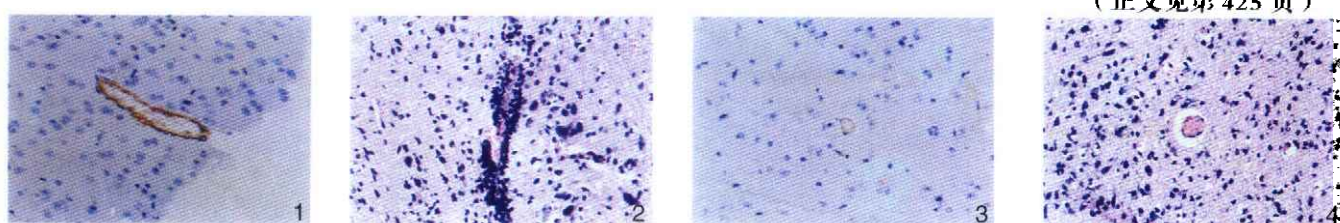
- [1] 王松.婴儿溃疡性结肠炎1例[J].实用儿科杂志,2001,16(2):78.

(本文编辑:吉耕中)

[收稿日期] 2003-02-14; [修回日期] 2003-04-29

[作者简介] 郭晓清(1963-),男,大学,副主任医师。主攻方向:小儿内科呼吸、消化系统。

## ICAM-1 单克隆抗体对新生大鼠缺氧缺血性脑损伤作用的研究



(正文见第 425 页)

图 1 A 组再给氧 48 h 脑组织 ICAM-1 阳性表达 ( $\times 400$ )

Figure 1 Positive expression of ICAM-1 in the brain of Group A 48 hs after the re-supply of oxygen

图 2 A 组再给氧 48 h 脑组织中性粒细胞浸润及脑细胞损伤 (HE  $\times 400$ )

Figure 2 Infiltration of neutrophil and damage of encephalic cells in the brain of Group A 48 hs after the re-supply of oxygen

图 3 B 组 ICAM-1 单抗治疗后 48 h 脑组织 ICAM-1 阳性表达 ( $\times 400$ )

Figure 3 Positive expression of ICAM-1 decreased in the brain of Group B 48 hs after the re-supply of oxygen

图 4 B 组 ICAM-1 单抗治疗后 48 h 脑组织中性粒细胞浸润及脑细胞损伤 (HE  $\times 400$ )

Figure 4 Infiltration on neutrophil and damage of encephalic cells alleviated in the brain of Group B 48 hs after the re-supply of oxygen

## 急性脑缺血小鼠脑组织中转化生长 - $\beta_1$ 的表达及意义

(正文见第 429 页)



图 1 原位杂交 TGF- $\beta_1$  在正常组小鼠脑组织无表达 ( $\times 400$ )

Figure 1 No expression of TGF- $\beta_1$  mRNA in the brain of control group

图 2 原位杂交 TGF- $\beta_1$  在模型组小鼠脑组织中高表达 ( $\times 400$ )

Figure 2 High expression of TGF- $\beta_1$  mRNA in the brain of model group

## 婴儿溃疡性结肠炎 1 例

(正文见第 486 页)

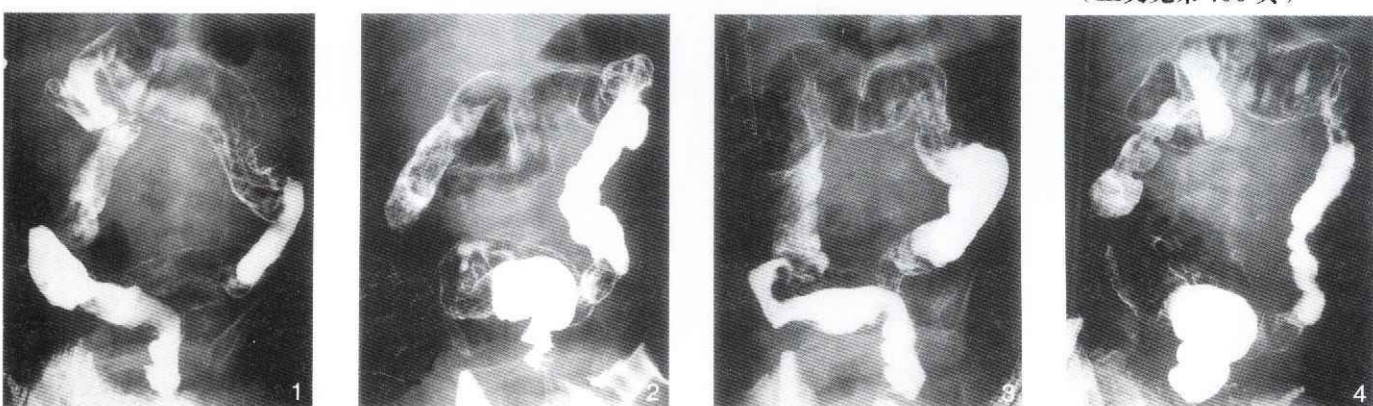


图 1~4 婴儿溃疡性结肠炎钡灌肠片

可见乙状结肠肠袋消失、管腔变细、肠管壁不规则锯齿样改变；横结肠肠袋消失、管腔扩张，脾曲结肠壁呈鹅卵石样改变。

## 蓝色橡皮大疱症综合征 1 例误诊分析

(正文见第 487 页)

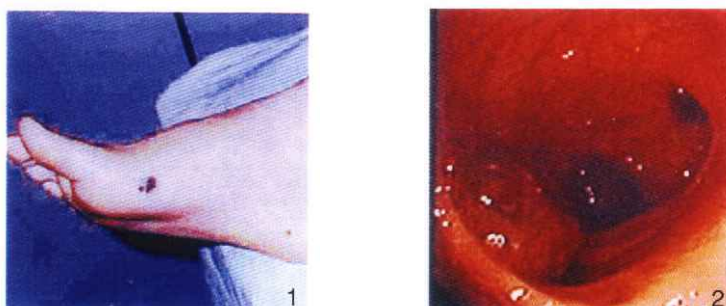


图 1 右足蓝黑色囊性血管瘤

图 2 胃镜示幽门旁囊性肿块